

SPring-8/SACLA

研究成果公表 論文サイテーション数調査 -2016-

公益財団法人高輝度光科学研究センター
利用推進部 利用情報課

1. 概要

SPring-8/SACLA 利用研究者が発表した論文の総数と被引用数

●集計対象論文：SPring-8/SACLA 成果登録 DB に登録された成果中、サイテーション値の取得が可能な論文について集計した。

調査期間：2016年8月

SPring-8	1994–2016*2(総累積)			2005–2015(11年間累積)			2014(2年経過値)		
	累積論文数	累積被引用数	平均被引用数	累積論文数	累積被引用数	平均被引用数	年間総論文数	累積被引用数	平均被引用数
全SPring-8[net]*1	9704	197937	20.4	7617	127161	16.7	758	4459	5.9
共用BL*3	6916	141912	20.5	5518	96207	17.4	559	3520	6.3
専用BL*3*4	2067	38058	18.4	1691	24284	14.4	209	949	4.5
理研BL*3	1215	35304	29.1	889	17142	19.3	79	693	8.8
その他(技術開発等)	151	1867	12.4	38	214	5.6	0	0	0.0

SACLA	2008–2016*2(総累積)			2014(2年経過値)		
	累積論文数	累積被引用数	平均被引用数	年間総論文数	累積被引用数	平均被引用数
全SACLA[net]*1	159	2758	17.4	23	355	15.4
BL3	75	1395	18.6	21	327	15.6
その他(技術開発等)	90	1885	20.9	2	28	14.0

●集計対象 BL*5

共用 BL --- 計 26本

BL01B1 BL02B1 BL04B1 BL08W BL09XU BL10XU BL39XU BL41XU BL47XU BL25SU BL27SU
 BL02B2 BL04B2 BL20B2 BL28B2 BL40B2 BL40XU BL43IR BL38B1 BL46XU BL13XU BL20XU
 BL35XU BL19B2 BL37XU BL14B2

専用 BL --- 計 20本

BL14B1 BL23SU BL24XU BL11XU BL16XU BL16B2 BL44XU BL33LEP BL12B2 BL15XU BL32B2*4
 BL12XU BL22XU BL08B2 BL33XU BL03XU BL07LSU BL28XU BL36XU BL31LEP

理研 BL --- 計 9本

BL45XU BL44B2 BL29XU BL19LXU BL26B1 BL26B2 BL17SU BL32XU BL43LXU

●備考

*1 : 成果登録 DB に登録された原著論文／博士論文／査読付きプロシーディングで、Thomson Reuters 社 Web of Science のサイテーション値を確認出来る論文数。

*2 : 2016年は、2016年1月1日から2016年4月30日までに発行された論文を集計対象とした。それ以外は、各年1月1日から12月31日までに発行された論文を集計対象とした。

*3 : 複数の BL に関連する成果は、それぞれの集計値に重複して集計した。

*4 : BL32B2 (創薬産業 BL) は、専用 BL に含めた (2012/3/29 に設置期間終了)。

*5 : 調査時における供用開始から2年以内の BL は対象外とした。

2. SPring-8/SACLA を用いた総論文数とそれらの被引用状況

【SPring-8】(被引用状況：トップ10%、トップ1%)

SPring-8	論文数	トップ10% 論文割合	トップ1% 論文割合
1994-2016(総累計数)	9704	11.7	1.5
2005-2015(11年間累積)	7617	12.0	1.4
2014(2年経過値)	758	11.4	2.6

【SACLA】(被引用状況：トップ10%、トップ1%)

SACLA	論文数	トップ10% 論文割合	トップ1% 論文割合
2008-2016(総累計数)	159	26.4	6.3
2014(2年経過値)	23	52.2	8.7

【SPring-8】

BL 種別論文数、トップ10%、トップ1% 論文割合

2005-2015 (11年間累積)	論文数	2014 (2年経過値)		論文数	トップ10% 論文割合	トップ1% 論文割合
		トップ10% 論文割合	トップ1% 論文割合			
SPring-8(全体)	7617	12.0	1.4	SPring-8(全体)	758	11.4
共用BL	5518	13.1	1.7	共用BL	559	12.2
専用BL	1691	9.3	1.0	専用BL	209	8.1
理研BL	889	12.6	1.5	理研BL	79	15.2
その他(技術開発等)	38	2.6	0.0	その他(技術開発等)	0	0.0
東京大学(全体)	83637	13.0	1.6	東京大学(全体)	8175	13.2
日本国平均(全体)	850968	8.0	0.8	日本国平均(全体)	78352	7.8

【SACLA】

発行年別論文数、トップ10%、トップ1% 論文割合

SACLA	論文数	トップ10% 論文割合	トップ1% 論文割合
2012	15	20.0	6.7
2013	31	35.5	3.2
2014	23	52.2	8.7
2015	34	26.5	11.8

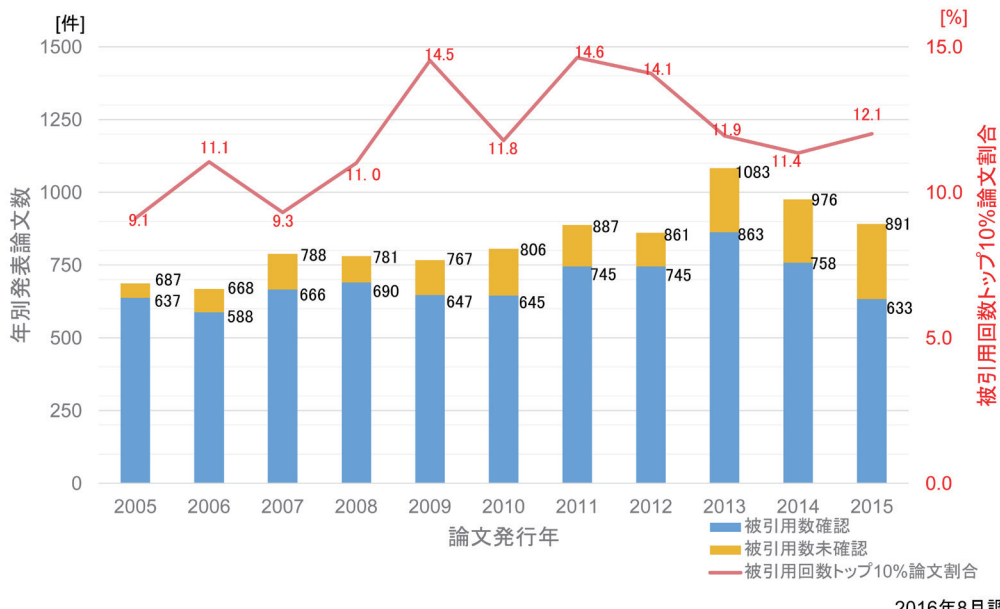
2016年8月調査

●備考

*1：論文数は、Thomson Reuters 社 InCites Benchmarking を用いてサイテーション値を確認できるドキュメントタイプ Article と Review を集計対象とした。

*2：論文被引用回数トップ10% 割合、及びトップ1% 割合は、Thomson Reuters 社 InCites Benchmarking より集計した。

3. SPring-8における総論文数と被引用回数トップ10% 論文割合



●備考

*1：被引用数確認は、Thomson Reuters 社 InCites Benchmarking を用い、ドキュメントタイプ Article と Review を集計対象とした。

*2：被引用回数トップ10% 割合は、Thomson Reuters 社 InCites Benchmarking より集計した。

*3：2013年発行分から、SPring-8/SACLA 利用研究成果集を集計に加えた。

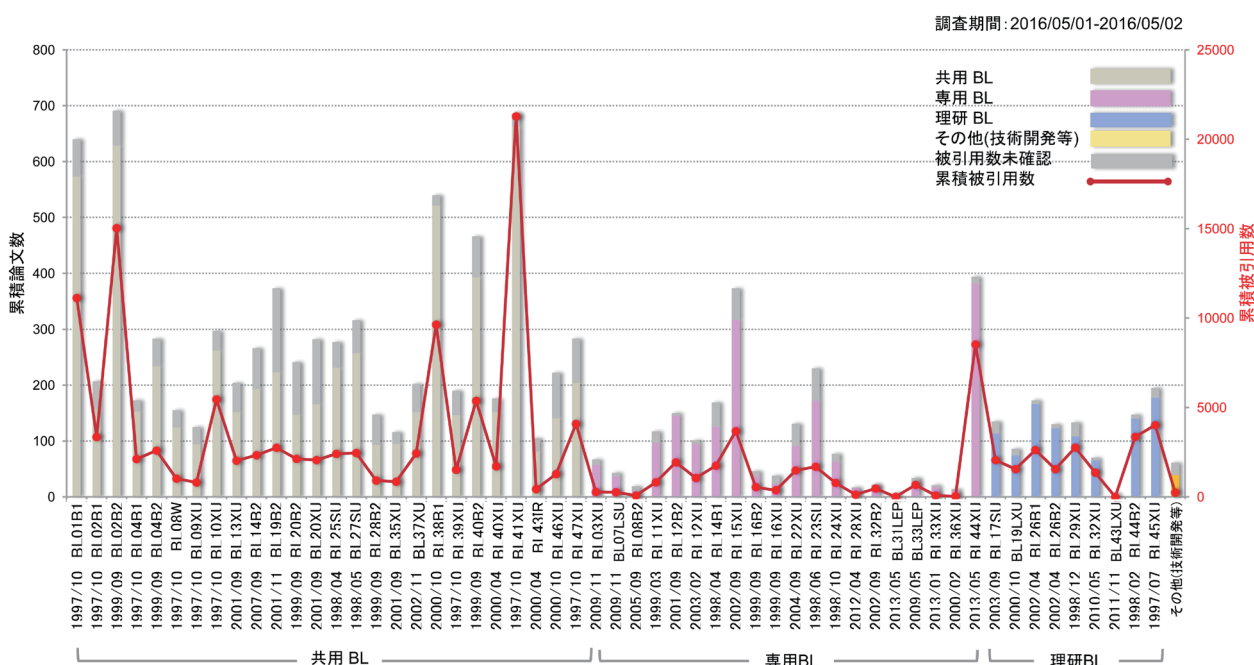
4. SPring-8利用の年別発行総論文数と平均被引用数（2005-2015）

SPring-8			2005	2006	2007	2008	2009	2010	2011	2012	2013	2014	2015	調査期間:2016/8月
年別 発行論文数		被引用数確認	637	588	666	690	647	645	745	745	863	758	633	
		被引用数未確認*1	50	81	121	92	119	160	140	118	219	217	255	
累積被引用数			15123	15582	14455	15108	16069	12265	13956	11031	7890	4459	1223	
平均被引用数 [累積被引用数/年別発行論文数・被引用数確認]			23.7	26.5	21.7	21.9	24.8	19.0	18.7	14.8	9.1	5.9	1.9	



*1：検索 DB (Thomson Reuters Web of Science) 未登録のため、被引用数が確認出来ない論文は「被引用数未確認」に計上する。
2013年発行分から、SPring-8/SACLA 利用研究成果集を集計に加えた。

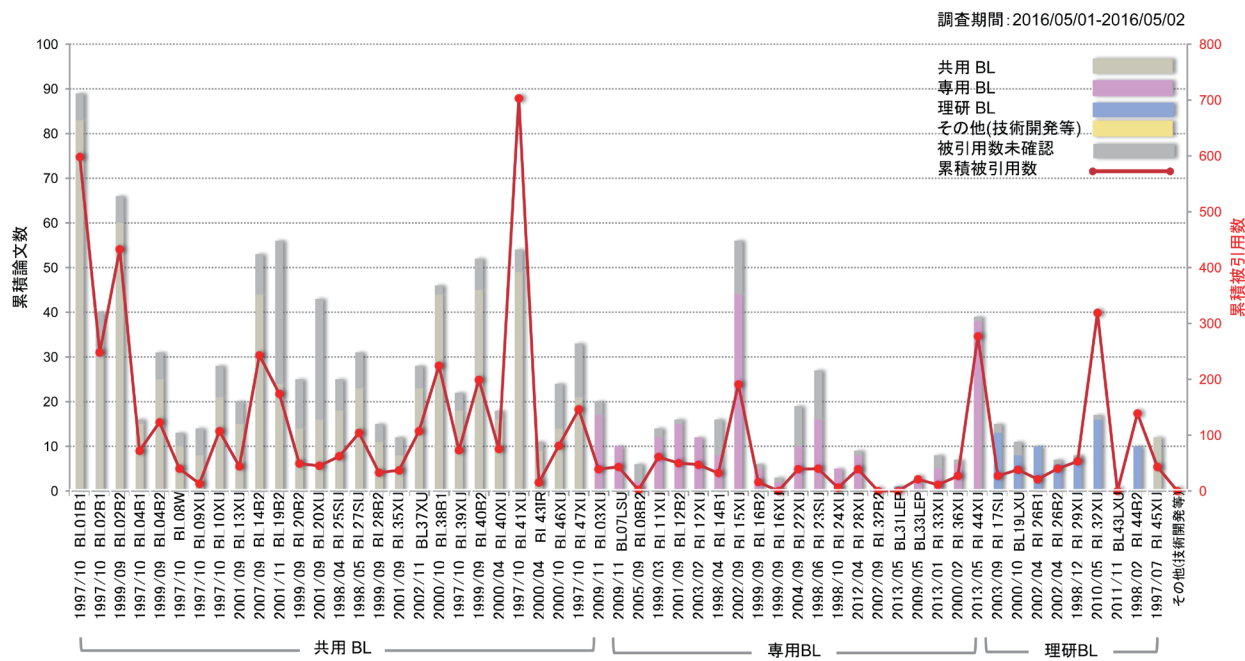
5. SPring-8 の BL 別累積論文数と累積被引用数の比較（2005-2015）



*1：検索 DB (Thomson Reuters Web of Science) 未登録のため、被引用数が確認出来ない論文は「被引用数未確認」に計上する。
2013年発行分から、SPring-8/SACLA 利用研究成果集を集計に加えた。

*2：一つの論文が異なる複数の BL に関わる共通の成果とみなせる場合、各 BL それぞれに計上する。

6. SPring-8 の BL 別年間総論文数と総被引用数の比較（2014 年の発表論文）



*1 : 検索 DB (Thomson Reuters Web of Science) 未登録のため、被引用数が確認出来ない論文は「被引用数未確認」に計上する。
2013 年発行分から、SPring-8/SACLA 利用研究成果集を集計に加えた。

*2 : 一つの論文が異なる複数の BL に関わる共通の成果とみなせる場合、各 BL それぞれに計上する。

7. 2014 年発行論文の被引用数ベスト 10

SPring-8/SACLA 利用関連論文の被引用数ベスト 10 (2014)

	回数	BL	実験責任者	タイトル	主著者	所属	投稿先ジャーナル名
1	161	BL41XU BL32XU	Nishimatsu, Hiroshi	Crystal Structure of Cas9 in Complex with Guide RNA and Target DNA	Nishimatsu, Hiroshi	The University of Tokyo	Cell
2	81	BL41XU	Okumura, Hideo	Crystal Structure of a Heterotetrameric NMDA Receptor ion Channel	Karakas, Erkan	Cold Spring Harbor Laboratory	Science
3	76	BL19B2	Osaka, Itaru	Thiophene-Thiazolothiazole Copolymers: Significant Impact of Side Chain Composition on Backbone Orientation and Solar Cell Performances	Osaka, Itaru	Hirosshima University, RIKEN	Advanced Materials
4	73	BL44B2	-	Self-Accelerating CO Sorption in a Soft Nanoporous Crystal	Sato, Hiroshi	Kyoto University, SPring-8/RIKEN	Science
5	52	BL41XU	Wu, Beili	Agonist-bound Structure of the Human P2Y ₁₂ Receptor	Zhang, Jin	Chinese Academy of Sciences	Nature
6	50	BL01B1	Tanaka, Tsunehiro	A Series of NiM (M = Ru, Rh, and Pd) Bimetallic Catalysts for Effective Lignin Hydrogenolysis in Water	Zhang, Jianguang	National University of Singapore	ACS Catalysis
7	48	BL02B2	Higuchi, Masakazu	High CO ₂ /N ₂ O ₂ /CO Separation in a Chemically Robust Porous Coordination Polymer with Low Binding Energy	Duan, Jingui	Kyoto University	Chemical Science
8	47	BL41XU BL44XU BL32XU BL3	Ago, Hideo	Determination of Damage-Free Crystal Structure of an X-ray Sensitive Protein using an XFEL	Hirata, Kunio	SPring-8/RIKEN	Nature Methods
9	44	BL02B2	Kobayashi, Hirokazu	Hydrogen Storage in Pd Nanocrystals Covered with a Metal-Organic Framework	Li, Guangqin	Kyoto University	Nature Materials
10	41	BL3	Nishino, Yoshinori	Imaging Live Cell in Micro-Liquid Enclosure by X-ray Laser Diffraction	Kimura, Takashi	Hokkaido University	Nature Communications